

# ساخت حسگر الکتروشیمیایی

## با استفاده از الکترود صفحه چاپی اصلاح شده با نانومیله‌های $MnO_2$

### برای اندازه‌گیری دوپامین

هادی بیت‌الله<sup>+</sup>\*

پژوهشگاه علوم محیطی، دانشگاه تحصیلات تکمیلی صنعتی و فناوری پیشرفت، کرمان، ایران

سمیه تاجیک

مرکز نانویو الکتروشیمی، دانشگاه علوم پژوهشی بم، بم، ایران

**چکیده:** از آنجایی که پایش متابولیسم دارو و کنترل کیفیت دارو نقش مهمی در سلامت انسان بازی می‌کند، بنابراین توسعه روش‌های آسان، درست و حساس برای آشکارسازی اجزای فعال دارای اهمیت می‌باشد. روش‌های متفاوتی برای اندازه‌گیری دوپامین در نمونه‌های زیستی ابداع شده است. در این مطالعه، از الکترود صفحه چاپی (SPE) اصلاح شده با نانومیله‌های منگتر دی اکسید ( $MnO_2$ ) به عنوان یک حسگر الکتروشیمیایی ساده اما با حساسیت بالا برای شناسایی و اندازه‌گیری دوپامین در نمونه‌های حقیقی بهره گرفته شد. رفتار الکتروشیمیایی دوپامین در سطح SPE با استفاده از روش ولتاوری چرخه‌ای، ولتاوری پالس تفاضلی و کرونوآمپرومتری مورد مطالعه قرار گرفت. همچنین، با استفاده از روش ولتاوری پالس تفاضلی، منحنی برازش در بازه‌ی غلظت ۰/۰۰۰۰-۱/۰ میکرومولار با حد تشخیص ۱/۰ میکرومولار به دست آمد.

**واژه‌های کلیدی:** دوپامین، الکترود صفحه چاپی، حسگر الکتروشیمیایی، ولتاوری چرخه‌ای، نانومیله‌های  $MnO_2$

**KEYWORDS:** Dopamine; Screen printed electrode; Electrochemical sensor; Cyclic voltammetry;  $MnO_2$  nanorods.

#### مقدمه

تأثیر بسیار زیادی در کنترل حرکت‌ها دارد. دوپامین به عنوان یک پیام‌رسان، شباهت زیادی به آدرنالین دارد [۵-۹]. در موردهای بیماران پارکینسونی به علت کمبود دوپامین در مغز به این بیماری دچار هستند [۱۰، ۱۱].

الکترودهای صفحه چاپی به منظور کوچک‌سازی سامانه‌های الکتروشیمیایی تجزیه‌ای طراحی شدند. الکترودهای صفحه چاپی به آسانی قابل تهیه و استفاده بوده، قابل حمل و مورد اطمینان می‌باشند

دوپامین (شکل ۱)، نوعی انتقال‌دهنده‌ی عصبی از خانواده‌ی کاتکول‌آمین‌ها در مغز است که به‌طور طبیعی، در بدن بسیاری از موجودهای زنده وجود دارد [۱-۳]. ناحیه‌ای که دوپامین بیشتر در مغز یافت می‌شود مربوط به قسمت‌هایی است که تنظیم‌کننده حرکت‌ها، احساس‌ها و عاطفه‌ها است [۴]. دوپامین به عنوان پایدار‌کننده فعالیت‌های مغزی نقش بسیار مهمی در تنظیم جریان اطلاعات از مغز به سایر قسمت‌های بدن را دارد. همچنین، دوپامین

\*E-mail: h.beitollahi@yahoo.com

\*\*عهده دار مکاتبات

تفاضلی نیز یک روش بسیار مفید برای اندازه‌گیری مقدارهای اندک ترکیب‌های آلی و معدنی است و از برتری‌هایی همچون قدرت جداسازی و حساسیت بالا و توان پاسخ دهی به هر دو نوع فرایندهای برگشت پذیر و برگشت ناپذیر برخوردار است [۳۲-۳۴].

در این مطالعه، با استفاده از یک الکترود صفحه چاپی اصلاح شده با نانومیلهای  $MnO_2$ ، شناسایی دوپامین در مسیری ساده، دقیق و ارزان تحقق پذیرفت. رفتار الکتروشیمیایی دوپامین در سطح الکترود صفحه چاپی با استفاده از روش‌های ولتاوری چرخه‌ای و ولتاوری پالس تفاضلی مورد بررسی قرار گرفت و مشخص شد که این الکترود در شناسایی و اندازه‌گیری دوپامین از کارایی لازم برخوردار است.

### بخش تجربی مواد شیمیایی

مواد شیمیایی مورد استفاده در این کار پژوهشی در جدول ۱ آورده شده است.

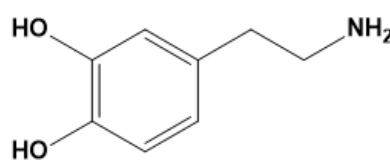
### وسیله‌ها و تجهیزات

از تجهیزات زیر برای انجام واکنش‌های الکتروشیمیایی در این کار استفاده شد:

- ۱- دستگاه پتانسیوستات - گالوانوستات Autolab model 302N Eco Chemi B.V.A
- ۲- سل سه الکترودی ساخت شرکت آذر الکترود
- ۳- الکترود صفحه چاپی گرافیتی اصلاح شده و اصلاح نشده به عنوان الکترود کار
- ۴- pH متر ساخت شرکت Metrohm مدل 827 pH/Ion Meter
- ۵- دستگاه فراصوت، برای حل کردن نمونه‌ها، ساخت شرکت Falk ایتالیا، مدل LBS2

### ستز نانومیلهای $MnO_2$

برای ستز نانومیلهای  $MnO_2$  از روش هیدروترمال استفاده شد. ابتدا  $2/5$  میلی‌مول پرمنگنات پتابسیم و یک میلی‌لیتر هیدروکلریک اسید در  $45$  میلی‌لیتر آب حل شد و به مدت  $30$  دقیقه هم زده شد. سپس محلول حاصل به دستگاه اتوکلاو  $200$  میلی‌لیتری منتقل شد و به مدت  $12$  ساعت در دمای  $140$  درجه سلسیوس قرار گرفت. رسوب به دست آمده با آب و اتانول شستشو داده شد.



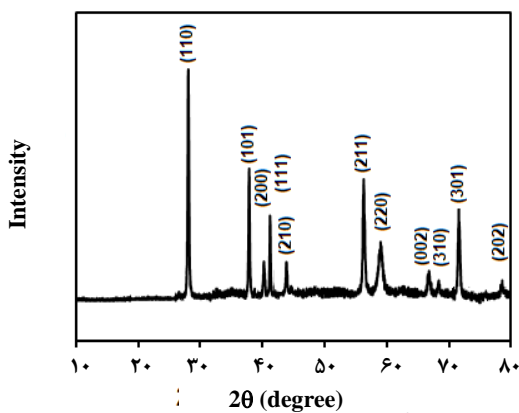
شکل ۱- ساختار شیمیایی دوپامین.

و بنابراین برای کوچک سازی سامانه‌های الکتروشیمیایی تجزیه‌ای مناسب می‌باشد. همچنین، یک الکترود صفحه چاپی بر خلاف الکترودهای معمولی مانند الکترود کربن شیشه‌ای نیاز به مرحله‌ی تمیز سازی ندارد. همچنین می‌توان به منظور بهبود کارایی الکترودها، آن‌ها را اصلاح کرد [۱۶-۲۴].

با افزایش حجم مطالعه‌ها صورت گرفته بر روی دوپامین و آشکار شدن اهمیت اندازه‌گیری این ترکیب نیاز به یک روش ساده، سریع، دقیق و ارزان برای شناسایی و تعیین مقدار آن بیش از پیش احساس می‌شود. اسپکتروسکوپی [۱۷]، کروماتوگرافی [۱۸]، لومینسانس‌شیمیایی [۱۹] و الکتروفورز [۲۰] از جمله روش‌هایی هستند که تاکنون برای سنجش دوپامین مورد استفاده قرار گرفته‌اند. این روش‌ها از دقت، حساسیت و گزینش پذیری بالایی برخوردار هستند ولی استفاده از آن‌ها نیازمند تجهیزاتی گران و افراد کارآزموده است. روش‌های الکتروشیمیایی ضمن برخورداری از دقت، حساسیت و گزینش پذیری دلخواه، ساده، ارزان و سریع هستند و جایگزین مناسبی برای روش‌های مرسوم به حساب می‌آیند [۲۱-۳۳]. در سال‌های اخیر، از ماده‌های در مقیاس نانو به منظور اصلاح سطح الکترودها استفاده شده است. این دسته از الکترودهای اصلاح شده دارای مساحت سطح و هدایت الکتریکی بیشتری هستند و همچنین سرعت انتقال الکترون بین سطح الکترود و گونه‌ی الکتروفعال را بهبود می‌بخشند. به طور کلی، الکترودهای اصلاح شده فعالیت الکتروکاتالیستی، حساسیت، انتخاب پذیری خوب و همچنین، حد تشخیص پایین‌تری در مقایسه با الکترودهای اصلاح نشده دارند. ولتاوری چرخه‌ای پرکاربردترین روش برای دستیابی به اطلاعات کیفی درباره‌ی واکنش‌های الکتروشیمیایی است و بیش‌تر نخستین آزمایشی است که در یک مطالعه‌ی ولتاوری انجام می‌شود. این روش، اطلاعات چشمگیری در زمینه‌ی ترمودینامیک واکنش‌های اکسایش-کاهش، سینتیک واکنش‌های انتقال الکترون ناهمگن و فرایندهای جذب در اختیار می‌گذارد. همچنین، پتانسیل ردکس گونه‌های الکتروفعال را مشخص می‌کند و اثر محیط را بر واکنش‌های اکسایش - کاهش نشان می‌دهد. ولتاوری پالس

## جدول ۱- فهرست مواد استفاده شده در این کار پژوهشی

نام شرکت سازنده	نام ترکیب شیمیایی	نام شرکت سازنده	نام ترکیب شیمیایی
مرک-آلمان	دوپامین	مرک-آلمان	پتاسیم پرمگنات
مرک-آلمان	اتانول	مرک-آلمان	هیدروکلریک اسید
مرک-آلمان	آمونیوم هیدروکسید	مرک-آلمان	فسفریک اسید
DropSens, Spain	الکترود صفحه چاپی	مرک-آلمان	سدیم هیدروکسید

شکل ۲- الگوی پراش XRD نانومیله‌های  $\text{MnO}_2$ 

$$D = K\lambda / \beta \cos \theta \quad (1)$$

در معادله (۱)، D اندازه دانه کریستالی،  $\lambda$  طول موج بر حسب آنگستروم،  $\theta$  زاویه پراش و  $\beta$  پهنه‌ای پرتو (بر حسب رادیان) در نصف شدت پرتو افکنی بیشینه است و مقدار K ( $0.9/0.9$ ) در نظر گرفته شده است.

تصویر SEM این نانومیله‌های  $\text{MnO}_2$  در شکل ۳ نشان داده شده است همان‌گونه که مشخص است مورفوژی این نانوذره‌های به صورت نانومیله می‌باشد.

اکسایش الکتروکاتالیستی دوپامین در سطح  $\text{MnO}_2/\text{SPE}$ 

شکل ۴ ولتاژ‌گرام‌های چرخه‌ای الکترود صفحه چاپی اصلاح شده با نانومیله‌های  $\text{MnO}_2$  (a) و الکترود صفحه چاپی اصلاح نشده (b) در محلول بافر فسفات  $10\text{ mM}$  pH=۷/۰ مولار با  $200\text{ mV}/\text{s}$  میکرومولار دوپامین را نشان می‌دهد.

همان‌گونه که دیده می‌شود افزایش نانومیله‌های  $\text{MnO}_2$  به الکترود صفحه چاپی اصلاح نشده باعث افزایش جریان

(۱) Debye-Scherrer

آماده سازی محلول‌ها  
با فرهای فسفات

برای تهیه بافر فسفات، ابتدا محلول M  $10\text{ mM}$  از فسفریک اسید با آب یون زدایی شده تهیه شد (برای این کار  $1/67\text{ ml}$  فسفریک اسید با خلوص ۸۵ درصد در بالان ژوژه  $1000\text{ ml}$  به حجم رسانده شد)، سپس توسط دستگاه pH متر و با استفاده از محلول سود، pH مورد نظر به دست آمد.

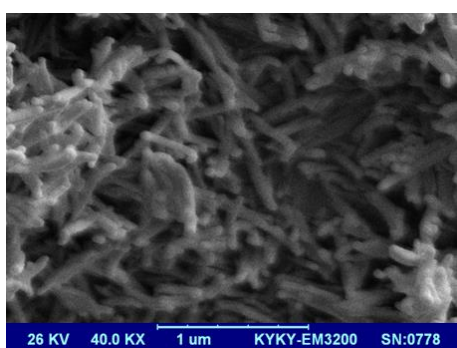
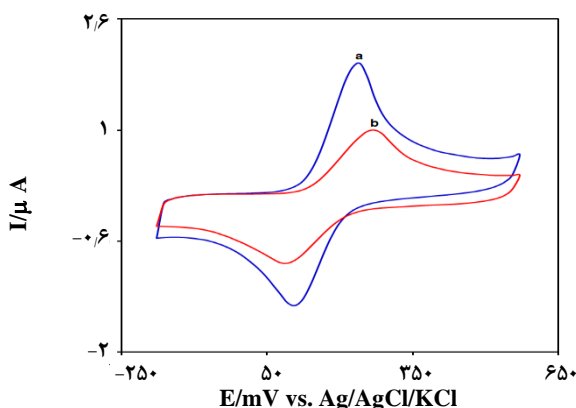
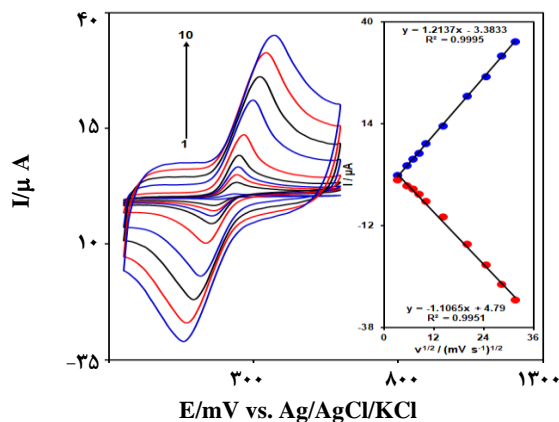
## تهیه الکترودهای صفحه چاپی گرافیتی اصلاح شده

برای تهیه الکترود صفحه چاپی اصلاح شده، نخست ۱ میلی‌گرم از نانومیله‌های  $\text{MnO}_2$  را وزن کرده و در میکروتیوب ریخته و به آن ۱ میلی‌لیتر آب مقطر اضافه شد و سپس، میکروتیوب را به مدت ۱۰ دقیقه داخل حمام فراصوت گذاشته تا نانومیله‌های  $\text{MnO}_2$  به صورت یکنواخت پخش شوند. در پایان ۵ میکroliter از محلول درون میکروتیوب با استفاده از سپلیر روی بخش الکترود کار الکترود صفحه چاپی چکانده شد و به مدت ۲۰ دقیقه زمان داده شد تا الکترود خشک شود.

## نتایج‌ها و بحث

شناختی نانومیله‌های  $\text{MnO}_2$ 

الگوی پراش XRD، فراورده‌ی به دست آمده در شکل ۲ نشان داده شده است که با نمونه استاندارد ترکیب تتراگونال  $\text{MnO}_2$  (PDF#۰۷۳۵-۲۴) به طور کامل مطابقت دارد و به وسیله سه پراش با شدت بالا در مقدارهای  $28/6$ ،  $37/5$  و  $56/4$  از  $2\theta$  مشخص می‌شود. با توجه به الگوی XRD نانومیله‌های سنتز شده مشخص می‌شود که فقط از یک فاز تشکیل شده و پراش‌ها فقط مربوط به نانومیله‌های  $\text{MnO}_2$  می‌باشند که نشان دهنده این حقیقت است که، فاز بلوری به دست آمده بسیار خالص می‌باشد. با استفاده از رابطه‌ی دبای - شرر<sup>(۱)</sup> (معادله ۱)، اندازه ذره‌ها  $6\text{ nm}$  به دست آمد.

شکل ۳- تصویر SEM نانومیله‌های  $\text{MnO}_2$ شکل ۴- ولتاوگرام‌های چرخه‌ای (a) الکترود صفحه چاپی اصلاح شده با نانومیله‌های  $\text{MnO}_2$  در حضور ۲۰۰  $\mu\text{M}$  دیپامین و (b) الکترود صفحه چاپی اصلاح نشده در حضور ۲۰۰  $\mu\text{M}$  دیپامین در سرعت روبش ۵۰ میلی ولت/ثانیه.  
 $\text{pH} = 7.0$ شکل ۵- ولتاوگرام‌های چرخه‌ای  $\text{MnO}_2/\text{SPE}$  در محلول بافر فسفات  $1 \text{ M}$  با  $\text{pH} = 7.0$  دارای  $200 \mu\text{M}$  دیپامین در سرعت روبش‌های گوناگون، اعداد ۱-۱۰ به ترتیب مربوطند به سرعت اسکن‌های ۱۰، ۳۰، ۵۰، ۷۰، ۱۰۰، ۲۰۰، ۴۰۰، ۸۰۰ و  $1000 \text{ mV s}^{-1}$ . ضمیمه: نمودار تغییر جریان بر حسب جذر سرعت روبش پتانسیل.

(افزایش حساسیت اندازه‌گیری) و همچنین کاهش فزوئی ولتاژ اکسایش دیپامین می‌شود.

#### اثر سرعت روبش پتانسیل در رفتار الکتروشیمیایی دیپامین در سطح $\text{MnO}_2/\text{SPEs}$

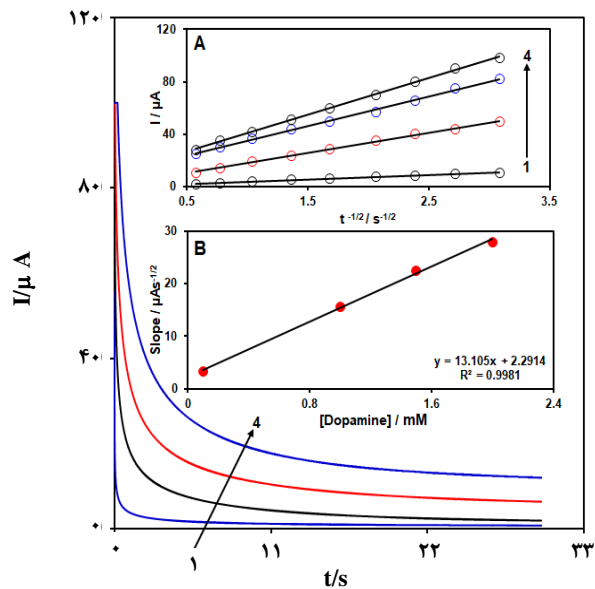
شکل ۵ ولتاوگرام‌های چرخه‌ای ( $\text{MnO}_2/\text{SPE}$ ) را در محلول بافر فسفات  $1 \text{ M}$  با  $\text{pH} = 7.0$  به دیپامین  $200 \mu\text{M}$  می‌باشد، در سرعت‌های روبش گوناگون نشان می‌دهد. همان‌گونه که دیده می‌شود، با افزایش سرعت روبش پتانسیل پیک اکسایش دیپامین به سمت پتانسیل‌های مثبت‌تر جایه جا می‌شود که بیانگر ایجاد محدودیت سیستیکی در واکنش الکتروشیمیایی می‌باشد. پیوست شکل ۵ نشان می‌دهد که نمودار تغییرهای جریان دماغه‌ی آندی مربوط به اکسایش دیپامین به طور خطی مناسب با ریشه‌ی دوم سرعت روبش پتانسیل ( $v^{1/2}$ ) در بازه  $1000-10 \text{ mV s}^{-1}$ ، افزایش سویک (معادله (۲)) نتیجه گرفت که فرایند اکسایش راندلز - سویک (معادله (۲)) اکسایش دیپامین در سطح الکتروشیمیایی دیپامین در سطح الکترود صفحه چاپی اصلاح شده‌ی مورد نظر، تحت کنترل انتقال جرم است و گونه برای اکسایش به سمت الکترود نفوذ می‌کند [۳۳].

$$I_p = 2/59 \times 10^5 n^{3/2} ACD^{1/2} v^{1/2} \quad (2)$$

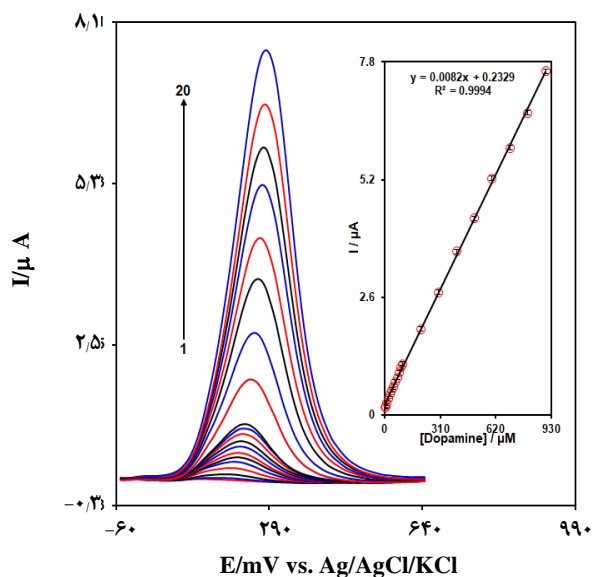
که در این رابطه  $A$  تعداد الکترون،  $D$  ضریب انتشار ( $\text{cm}^2/\text{s}$ )،  $C$  غلظت گونه الکتروواکتیو در توده محلول ( $\text{M}$ ) و  $v$  ( $\text{V/s}$ ) سرعت روبش پتانسیل است.

**بورسی اکسایش الکتروکاتالیستی دیپامین به روش کرونوآمپرومتری**  
اکسایش الکتروکاتالیستی دیپامین در سطح ( $\text{MnO}_2/\text{SPE}$ ) با روش کرونوآمپرومتری نیز مطالعه شده است. به این منظور، محلول‌هایی با غلظت‌های گوناگون از دیپامین در سل الکتروشیمیایی قرار گرفته، و با پله پتانسیل  $300 \text{ mV}$  رسم شدند (شکل ۶).

داده‌های کرونوآمپرومتری دیپامین، جریان کرونوآمپرومتری نیز افزایش می‌یابد. نتیجه‌های به دست آمده نشان می‌دهد جریان نسبت به زمان روند نزولی دارد که به خوبی نمایانگر رفتار کاترلی در سطح الکترود است. در صورتی که فرایند مورد نظر تحت کنترل نفوذ باشد، مقدارهای جریان بر حسب زمان براساس معادله کاترل (۳) به دست می‌آید [۳۳].



شکل ۶ - کرونوامپروگرام‌های  $\text{MnO}_2/\text{SPE}$  در محلول بافر فسفات  $1\text{ M}$  با  $\text{pH}=7.0$  دارای غلظت‌های متفاوت (۱)  $۰/۰\text{ M}$  (۲)  $۰/۱\text{ M}$  (۳)  $۰/۲\text{ M}$  (۴)  $۰/۵\text{ M}$  میلی مولار دوپامین. پله پتانسیل  $۳۰۰\text{ mV}$  می‌باشد. ضمایم: (A) تغییرهای  $I - t^{-1/2}$  به دست آمده از کرونوامپروگرام‌های ۱-۴ (B) نمودار شیب خطوط  $t^{-1/2} - I$  بر حسب غلظت دوپامین.



شکل ۷ - ولتاومگرام‌های پالس تفاضلی در سطح  $\text{MnO}_2/\text{SPE}$  در  $\text{pH}=7.0$  به ترتیب مربوط به غلظت‌های  $۱/۰\text{ M}$ ,  $۵/۰\text{ M}$ ,  $۲۰/۰\text{ M}$ ,  $۴۰/۰\text{ M}$ ,  $۵۰/۰\text{ M}$ ,  $۶۰/۰\text{ M}$ ,  $۷۰/۰\text{ M}$ ,  $۸۰/۰\text{ M}$ ,  $۹۰/۰\text{ M}$ ,  $۸۰۰/۰\text{ µM}$ ,  $۷۰۰/۰\text{ µM}$ ,  $۶۰۰/۰\text{ µM}$ ,  $۵۰۰/۰\text{ µM}$  دوپامین در بازه‌ی  $۰/۰\text{ M}$  مولار با  $\text{pH}=7.0$  است. ضمایم: منحنی تغییرهای جریان بر حسب غلظت دوپامین در بازه‌ی غلظتی  $۰/۰\text{ M}$ - $۹۰۰/۰\text{ µM}$ .

$$I = nFAD^{1/2}Cb\pi^{-1/2}t^{-1/2} \quad (3)$$

پیوست A شکل ۶ تغییرهای  $I - t^{-1/2}$  را برای غلظت‌های متفاوت از دوپامین نشان می‌دهد. همان‌گونه که دیده می‌شود، این تغییرهای خطی هستند که بیانگر کنترل فرایند توسط نفوذ می‌باشد. در ضمیمه‌ی B این شکل تغییرهای شیب خطوط  $t^{-1/2} - I$  بر حسب غلظت دوپامین رسم شده است. از روی شیب نمودار به دست آمده و با استفاده از معادله‌ی کاترل، مقدار میانگین ضریب نفوذ دوپامین برابر با  $۱۰^{-۱}\text{ cm}^2\text{s}^{-1}$  به دست آمد. مقدار ضریب نفوذ به دست آمده با برخی کارهای دیگر در جدول ۱ مقایسه شده است.

### بورسی اکسایش الکتروکاتالیستی دوپامین به روش ولتاومتری پالس تفاضلی

روش ولتاومتری پالس تفاضلی با نمونه‌برداری از جریان در آخرین لحظه‌های عمر پالس پتانسیل، موجب می‌شود که قسمت‌هایی از جریان خازنی که از تغییر مستمر پتانسیل در طول زمان نشأت می‌گیرند به میزان چشمگیری کاهش یابند و حساسیت روش افزایش یابد.

درنتیجه برای اندازه‌گیری‌های کمی در این کار پژوهشی از روش ولتاومتری پالس تفاضلی برای اندازه‌گیری‌های کمی استفاده شد (پتانسیل اولیه  $۵۰\text{ mV}$ ، پتانسیل انتهایی  $۴۵\text{ mV}$ ، پله  $۰/۱\text{ V}$  و دامنه مدولاسیون  $۰/۰۲۵\text{ V}$  ولت) آنالیز داده‌های (پتانسیل ۰/۱ ولت و دامنه مدولاسیون  $۰/۰۲۵\text{ V}$  ولت) (شکل ۷) به دست آمده از ولتاومگرام‌های پالس تفاضلی نشان می‌دهند که نمودار تغییرهای جریان ولتاومگرام‌های رسم شده بر حسب غلظت دوپامین دارای بازه‌ی خطی در غلظت‌های  $۰/۰\text{ M}$ - $۹۰۰/۰\text{ µM}$  میکرومولار می‌باشد. حد تشخیص در این روش  $۰/۱\text{ µM}$  میکرومولار به دست آمد. در جدول ۱ نتیجه‌های به دست آمده با نتیجه‌های به دست آمده از برخی مطالعه‌ها آورده شده است.

### بورسی پایداری، تکرار پذیری الکترود اصلاح شده و تجدید پذیری در ساخت الکترود

برای بررسی پایداری الکترود اصلاح شده، عملکرد آن در یک دوره‌ی سه هفته‌ای ارزیابی شد. بدین منظور، آزمایش‌ها پس از اصلاح سطح الکترود در دمای اتاق بعد از گذشت ۳ هفته تکرار شد. نتیجه‌های به دست آمده نشان دادند، تغییر در پتانسیل اکسایش دوپامین در مقایسه با نتیجه‌های اولیه کمتر از  $۲/۵\text{ mV}$  درصد می‌باشد. همچنین مقاومت سطح الکترود اصلاح شده در برابر اکسایش دوپامین و فراورده‌های به دست آمده از اکسایش آن با استفاده از فناوری ولتاومتری چرخه‌ای مورد مطالعه قرار گرفت. ولتاومگرام‌ها

جدول ۱- مقایسه نتیجه‌های بدست آمده با برخی از کارهای پژوهشیانجام گرفته در اندازه‌گیری دوپامین.

الکترود	اصلاحگر	روش	حد تشخیص / میکرومولار	دامنه خطی / میکرومولار	ضریب نفوذ (cm <sup>2</sup> /s)	منبع
کربن شیشه‌ای	نقطه‌های کوانتمی گرافن	ولتامتری	۰/۱۱۵	۱/۱۵۰۰-۰/۰	۰/۰۹۳	۳۴
کربن شیشه‌ای	کامپوزیت گرافن/تیروزین	ولتامتری	۰/۲۸	۱/۵۰۰-۰/۰	۶/۳۶۹	۳۵
کربن شیشه‌ای	پلی گلایسین/نانوساختارهای کربنی	ولتامتری	۰/۰۳	۱/۲۸۰-۰/۰	۲/۰۴	۳۶
کربن شیشه‌ای	گرافن اکسید احیا شده	ولتامتری	۰/۷۷	۱/۲۲۴-۴/۰	۰/۰۳۷۹	۳۷
کربن شیشه‌ای	فیلم پلی ال - لوسین/DNA	ولتامتری	۰/۰۴	۰/۱۰۰-۱/۰	-	۳۸
طلاء	-۲(۳-۴-دی هیدروکسی فیل) -۱و-۳-دی تیالون	ولتامتری	۰/۰۷	۰/۲۵۰-۲/۰	۰/۰۱۰	۷/۱×۱۰ <sup>-۶</sup>
صفحه چاپی گرافیتی	نانوکامپوزیت نیکل اکسید/گرافن	ولتامتری	۰/۳۱۴	۱/۵۰۰-۰/۰	۰/۰۳۹۹	۴۰
صفحه چاپی گرافیتی	نانومیله‌های منگنز اکسید	ولتامتری	۰/۱	۱/۹۰۰-۰/۰	۰/۰۰۸۲	۱/۴۶×۱۰ <sup>-۵</sup> -۱۰
صفحه چاپی گرافیتی	نانومیله‌های منگنز اکسید	ولتامتری	-	-	-	این کار پژوهشی

### تجزیه نمونه‌های حقیقی

به منظور ارزیابی الکترود ساخته شده برای سنجش دوپامین در نمونه‌های حقیقی، از الکترود مورد نظر برای اندازه‌گیری دوپامین در نمونه‌های آمپول دوپامین و ادرار استفاده شد. بدین منظور غلظت‌های مشخصی از نمونه‌های حقیقی (برای هر غلظت ۵ مرتبه تکرار انجام شد) به داخل سل الکتروشیمیایی منتقل و توسط الکترود ساخته شده اندازه‌گیری‌ها انجام شد. نتیجه‌های به دست آمده بسیار نزدیک به غلظت‌های تزریق شده می‌باشند و بیانگر کارآبی بالای الکترود ساخته شده در اندازه‌گیری دوپامین در نمونه‌های حقیقی می‌باشد (جدول ۲).

### نتیجه گیری

با استفاده از الکترود صفحه چاپی اصلاح شده با  $\text{MnO}_2$  با استفاده از الکتروشیمیایی ساده، حساس، دقیق و معتبر برای شناسایی و اندازه‌گیری دوپامین ارایه شد. برای بررسی رفتار الکتروشیمیایی دوپامین در سطح SPE، از روش‌های ولتاوی چرخه‌ای و ولتاوی پالس تفضیلی بهره گرفته شد و مشخص شد که فرایند الکتروشیمیایی دوپامین در سطح SPE یک فرایند کنترل شده با جذب سطحی است. حد تشخیص در این روش  $۱/۰$  میکرومولار به دست آمد. الکترود به کار رفته در این پژوهش، نسبت به دوپامین از تکرارپذیری و پایداری چشمگیری برخوردار بود.

در حضور  $۵۰/۰$  میکرومولار دوپامین پس از ۱۵ چرخه با سرعت روش  $۵۰ \text{ mV/s}$  ثبت شد. نتیجه‌ها نشان داد که هیچ تغییری در پتانسیل پیک دیده نشده و کاهش جریان کمتر از  $۲/۴$  درصد نسبت به جریان اولیه می‌باشد. با توجه به نتیجه‌ها، استفاده از الکترود اصلاح شده باعث افزایش حساسیت و کاهش آلودگی آنالیت و فراورده‌ی به دست آمده از اکسایش آن می‌شود. همچنین ۵ نمونه‌ی جدگانه از الکترود اصلاح شده ساخته شد و پارامترهای جریان و پتانسیل این ۵ الکترود با هم مقایسه شد که تفاوت چشمگیری دیده نشد.

### بورسی اثر گونه‌های مزاحم

تأثیر گونه‌های مزاحم در تعیین دوپامین نیز مورد بررسی قرار گرفت. گونه‌ی مزاحم گونه‌ای در نظر گرفته شد که موجب خطا نسبی حدود  $\pm ۵$  درصد در تعیین دوپامین شود. بر اساس نتیجه‌ها، ال - لیزین، گلوکز، NADH، استامینوفن، ال - سرین، ال - پرولین، هیستیدین، گلیسین، متیونین، تریپتوفان، فنیل آلانین، لاکتوز، ساکاروز، فروکتوز، بنزوئیک اسید، متانول،  $\text{K}^+$ ,  $\text{Na}^+$ ,  $\text{Li}^+$ ,  $\text{Fe}^{3+}$ ,  $\text{Fe}^{2+}$ ,  $\text{NH}_4^+$ ,  $\text{Al}^{13+}$ ,  $\text{Mg}^{2+}$ ,  $\text{F}^-$ ,  $\text{SO}_4^{2-}$  و  $\text{Mg}^{2+}$  مزاحمتی در تعیین دوپامین ایجاد نمی‌کنند، اما اسکوربیک اسید باعث ایجاد مزاحمت در تعیین دوپامین می‌شود. اگر چه اسکوربیک اسید مزاحمت نشان داد، این مزاحمت را می‌توان با استفاده از آنزیم اسکوربیک اسیداز، در صورت نیاز، کمینه کرد.

جدول ۲- استفاده از  $MnO_2/SPE$  برای اندازه گیری دوپامین در نمونه های آمپول دوپامین و ادرار ( $n=5$ )

نمونه	غلظت افزوده شده ( $\mu M$ )	غلظت یافت شده ( $\mu M$ )	درصد بازیابی (%)	انحراف استاندارد (%)
آمپول دوپامین	+	۱۰/۰	-	۲/۱
	۵/۰	۱۴/۸	۹۸/۶	۱/۹
	۱۰/۰	۲۰/۵	۱۰۲/۵	۳/۱
	۱۵/۰	۲۵/۳	۱۰۱/۲	۲/۸
	۲۰/۰	۲۹/۴	۹۸/۰	۲/۶
ادرار	+	-	-	۱/۸
	۱۲/۵	۱۲/۶	۱۰۰/۸	۲/۴
	۱۷/۵	۱۷/۷	۱۰۱/۱	۳/۲
	۲۲/۵	۲۲/۲	۹۸/۶	۳/۱
	۲۷/۵	۲۸/۱	۱۰۲/۱	۱/۷

تاریخ دریافت: ۱۳۹۷/۴/۳؛ تاریخ پذیرش: ۱۳۹۷/۷/۲

## مراجع

- [1] Alipour E., Majidi M.R., Saadatirad A., Golabi S., Alizadeh A.M., Simultaneous Determination of Dopamine and Uric Acid In Biological Samples on the Pretreated Pencil Graphite Electrode, *Electrochim. Acta*, **91**: 36-42 (2013).
- [2] Xie Y.L., Yuan J., Ye H.L., Song P., Hu S.Q., Facile Ultrasonic Synthesis of Graphene/SnO<sub>2</sub> Nanocomposite and Its Application oo the Simultaneous Electrochemical Determination of Dopamine, Ascorbic Acid, and Uric Acid, *J. Electroanal. Chem.*, **749**: 26-30 (2015).
- [3] Reddy S., Swamy B.K., Chandra U., Sherigara B.S., Jayadevappa H., Synthesis of CdO Nanoparticles and Their Modified Carbon Paste Electrode for Determination of Dopamine and Ascorbic Acid by Using Cyclic Voltammetry Technique, *Int. J. Electrochem.Sci.*, **5**: 10-17 (2010).
- [4] Beitollahi H., Sheikhshoae I., Novel Nanostructure-Based Electrochemical Sensor for Simultaneous Determination of Dopamine and Acetaminophen, *Mater. Sci. Eng. C*, **32**: 375-380 (2012).
- [5] Palanisamy S., Thirumalraj B., Chen S.M., Ali M.A., Al-Hemaid F.M., Palladium Nanoparticles Decorated on Activated Fullerene Modified Screen Printed Carbon Electrode for Enhanced Electrochemical Sensing of Dopamine, *J. Colloid Interface Sci.*, **448**: 251-256 (2015).
- [6] Ishii T., Kimura Y., Ichise M., Takahata K., Kitamura S., Moriguchi S., Okubo Y., Correction: Anatomical Relationships between Serotonin 5-HT<sub>2A</sub> and Dopamine D<sub>2</sub> Receptors in Living Human Brain, *PloS One*, **13(5)**: e0197201 (2018).

- [7] van Holst R., Sescousse G., Timmeren T., den Ouden H., Berry A., Jagust W., Cools R., [S258](#). Dorsal, but not Ventral Striatal Dopamine Mediates the Effect of Gambling Disorder on Compulsivity During Reversal Learning, *Biol. Psychiatry*, **83**(9): S448-S449 (2018).
- [8] Yan X., Gu Y., Li C., Zheng B., Li Y., Zhang T., Yang M., [Morphology-Controlled Synthesis of Bi<sub>2</sub>S<sub>3</sub> Nanorods-Reduced Graphene Oxide Composites with High-Performance for Electrochemical Detection of Dopamine](#), *Sens. Actuat. B: Chem.*, **257**: 936-943 (2018).
- [9] Pananon P., Sriprachuabwong C., Wisitsoraat A., Chuysinuan P., Tuantranont A., Saparpakorn P., Dechtrirat D., [A Facile One-Pot Green Synthesis of Gold Nanoparticle-Graphene-PEDOT: PSS Nanocomposite for Selective Electrochemical Detection of Dopamine](#), *RSC Advances*, **8**(23): 12724-12732 (2018).
- [10] Wang H.H., Chen X.J., Li W.T., Zhou W.H., Guo X.C., Kang W.Y., Wu S. X., [ZnO Nanotubes Supported Molecularly Imprinted Polymers Arrays as Sensing Materials for Electrochemical Detection of Dopamine](#), *Talanta*, **176**: 573-581 (2018).
- [11] Beitollahi H., Hamzavi M., Torkzadeh-Mahani M., Shanesaz M., Karimi-Maleh H., [A Novel Strategy for Simultaneous Determination of Dopamine and Uric Acid Using a Carbon Paste Electrode Modified with CdTe Quantum Dots](#), *Electroanalysis*, **27**: 524-533 (2015).
- [12] Ward A.C., Hannah A.J., Kendrick S.L., Tucker N.P., MacGregor G., Connolly P., [Identification and Characterisation of Staphylococcus Aureus on Low-Cost Screen Printed Carbon Electrodes Using Impedance Spectroscopy](#), *Biosens. Bioelectron.*, **110**: 65-70 (2018).
- [13] Talarico D., Arduini F., Amine A., Moscone D., Palleschi G., [Screen-Printed Electrode Modified with Carbon Black Nanoparticles for Phosphate Detection by Measuring the Electroactive Phosphomolybdate Complex](#), *Talanta*, **141**: 267-272 (2015).
- [14] Hashemi P., Bagheri H., Afkhami A., Amidi S., Madrakian T., [Graphene Nanoribbon/FePt Bimetallic Nanoparticles/Uric Acid as a Novel Magnetic Sensing Layer of Screen Printed Electrode for Sensitive Determination of Ampyra](#), *Talanta*, **176**: 350-359 (2018).
- [15] Dourandish Z., Beitollahi H., [Electrochemical Sensing of Isoproterenol Using Graphite Screen-Printed Electrode Modified with Graphene Quantum Dots](#), *Anal. Bioanal. Electrochem.*, **10**(2): 192-202 (2018).
- [16] Cao F., Dong Q., Li C., Chen J., Ma X., Huang Y., Lei Y., [Electrochemical Sensor for Detecting Pain Reliever/Fever Reducer Drug Acetaminophen Based on Electrospun CeBiOx Nanofibers Modified Screen-Printed Electrode](#), *Sens. Actuat. B: Chem.*, **256**: 143-150 (2018).
- [17] An J.H., Choi D.K., Lee K.J., Choi J.W., [Surface-Enhanced Raman Spectroscopy Detection of Dopamine by DNA Targeting Amplification Assay in Parkinson's Model](#), *Biosens. Bioelectron.*, **67**: 739-46 (2015).
- [18] Ferrer D.G., García A.G., Peris-Vicente J., Gimeno-Adelantado J.V., Esteve-Romero J., [Analysis of Epinephrine, Norepinephrine, and Dopamine In Urine Samples of Hospital Patients by Micellar Liquid Chromatography](#), *Anal. Bioanal. Chem.*, **407**: 9009-9018 (2015).

- [19] Duan H., Li L., Wang X., Wang Y., Li J., Luo C., **A Sensitive And Selective Chemiluminescence Sensor for the Determination of Dopamine Based on Silanized Magnetic Graphene Oxide-Molecularly Imprinted Polymer**, *Spectrochim. Acta A*, **139**: 374-379 (2015).
- [20] Fang H., Pajski M.L., Ross A.E., Venton B.J., **Quantitation of Dopamine, Serotonin and Adenosine Content in a Tissue Punch from a Brain Slice Using Capillary Electrophoresis with Fast-Scan Cyclic Voltammetry Detection**, *Anal. Methods*, **5**: 2704-2711 (2013).
- [21] Qian Y., Ma C., Zhang S., Gao J., Liu M., Xie K., Song H., **High Performance Electrochemical Electrode Based on Polymeric Composite Film for Sensing of Dopamine and Catechol**, *Sens. Actuat. B: Chem.*, **255**: 1655-1662 (2018).
- [22] Zare-Mehrjardi H.R., **Electrochemical Sensing of Dopamine In The Presence of Ascorbic Acid Using Carbon Paste Electrode Modified with Molybdenum Schiff Base Complex/1-Butyl-3-Methylimidazolium Tetrafluoroborate**, *Iran. Chem. Commun.*, **6**: 56-70 (2018).
- [23] Hou L., Shi Y., Wu C., Zhang Y., Ma Y., Sun X., Yuan C., **Monodisperse Metallic NiCoSe<sub>2</sub> Hollow Sub-Microspheres: Formation Process, Intrinsic Charge-Storage Mechanism, and Appealing Pseudocapacitance as Highly Conductive Electrode for Electrochemical Supercapacitors**, *Adv. Func. Mater.*, **28(13)**: 1705921 (2018).
- [۲۴] حسنی نژاد درزی، سید کریم؛ رضوانی، روزبه؛ پورعلی، سیده معصومه؛ **الکترواکسایش فرمالدهید با استفاده از الکترود خمیر کربن اصلاح شده با نانوزوئولیت MCM-41 دارای نقره**، نشریه شیمی و مهندسی شیمی ایران، ۱۳۹۷: ۵۱ تا ۶۱ (۳۷(۱))
- [25] Soba A., Suárez C., González M.M., Cabrales L.E.B., Pupo A.E.B., Reyes J.B., Tassé J.P.M., **Integrated Analysis of the Potential, Electric Field, Temperature, PH and Tissue Damage Generated By Different Electrode Arrays in a Tumor Under Electrochemical Treatment**, *Math. Comput. Simulat.*, **146**: 160-176 (2018).
- [۲۶] حسینی زوار محله، سید رضا؛ قاسمی میر، شهرام؛ پورصادق لیمویی، شیوا؛ بررسی مقایسه ای اکسایش الکتروکاتالیستی برخی از الکل های مهم در سطح الکترود خمیر کربن اصلاح شده با نانوآلیاف اکسید نیکل الکتروبریسی شده، نشریه شیمی و مهندسی شیمی ایران، ۱۳۹۷: ۱۰۹ تا ۱۲۰ (۳۷(۴)).
- [27] Beitollahi H., Ivari S. G., Torkzadeh-Mahani M., **Application of Antibody–Nanogold–Ionic Liquid–Carbon Paste Electrode for Sensitive Electrochemical Immunoassay of Thyroid-Stimulating Hormone**, *Biosens. Bioelectron.*, **110**: 97-102 (2018).
- [۲۸] حبیبی، بیوک؛ کاوه، رحمان؛ **الکترواکسیداسیون اتانول بر روی الکترود کربن - سرامیک اصلاح شده با نانوذرهای آلیاژ پلاتین - کجالت**، نشریه شیمی و مهندسی شیمی ایران، ۱۳۹۶: آماده انتشار.
- [29] Gordon I.J., Grueon S., Takenouti H., Tribollet B., Armand M., Davoisne C., Laruelle S., **Electrochemical Impedance Spectroscopy Response Study of a Commercial Graphite-Based Negative Electrode for Li-Ion Batteries as Function of the Cell State of Charge and Ageing**, *Electrochim. Acta*, **223**: 63-73 (2017).

[۳۰] عجمی، نرگس؛ مظفری، شهلا؛ اردوانیان، ژولیت؛ سهیلی، سهیلی؛ کاربرد نانوکامپوزیت پلی پیرون - سریم (IV) اکسید به عنوان نانو حسگر برای اندازه گیری داروی لوروکارتین، نشریه شیمی و مهندسی شیمی ایران، ۳۸(۱) : ۵۵ تا ۶۵ (۱۳۹۸).

[31] Chen Y.C., Hsu J.H., Lin Y.G., Hsu Y.K., Silver Nanowires on Coffee Filter as Dual-Sensing Functionality for Efficient and Low-Cost SERS Substrate and Electrochemical Detection, *Sens. Actuat. B: Chem.*, **245**: 189-195 (2017).

[۳۲] قلی زاده، اعظم؛ شاهرخیان، سعید؛ ایرجی زاد، اعظم؛ مهاجرزاده، شمس الدین؛ وثوقی، منوچهر؛ اندازه گیری گلوتامات با استفاده از حسگر زیستی بر پایه نانولوله های کربنی عمودی، نشریه شیمی و مهندسی شیمی ایران، ۳۳(۴) : ۳۳ تا ۳۶ (۱۳۹۲).

[33] Bard A.J., Faulkner L.R., "Electrochemical Methods Fundamentals and Applications", 2nd ed., John Wiley & Sons, Inc., New York (2001).

[34] Li, Y., Jiang, Y., Mo, T., Zhou, H., Li, Y., Li, S., Highly Selective Dopamine Sensor Based on Graphene Quantum Dots Self-Assembled Monolayers Modified Electrode, *J. Electroanal. Chem.*, **767**: 84-90 (2016).

[35] Wang, X., Zhang, F., Xia, J., Wang, Z., Bi, S., Xia, L., Li, Y., Xia, Y., Xia, L., Modification of Electrode Surface with Covalently Functionalized Graphene Oxide by L-Tyrosine for Determination of Dopamine, *J. Electroanal. Chem.*, **738**: 203-208 (2015).

[36] Zhang, G., He, P., Feng, W., Ding, S., Chen, J., Li, L., He, H., Zhang, S., Dong, F., Carbon Nanohorns/Poly(Glycine) Modified Glassy Carbon Electrode: Preparation, Characterization and Simultaneous Electrochemical Determination of Uric Acid, Dopamine and Ascorbic Acid, *J. Electroanal. Chem.*, **760**: 24-31 (2016).

[37] Yang, B., Wang, H., Du, J., Fu, Y., Yang, P., Du, Y., Direct Electrodeposition of Reduced Graphene Oxide on Carbon Fiber Electrode for Simultaneous Determination of Ascorbic Acid, Dopamine and Uric Acid, *Colloids Surf. A*, **456**: 146-152 (2014).

[38] Zheng, X., Guo, Y., Zheng, J., Zhou, X., Li, Q., Lin, R., Simultaneous Determination of Ascorbic Acid, Dopamine and Uric Acid Using Poly(L-Leucine)/DNA Composite Film Modified Electrode, *Sens. Actuat. B: Chem.*, **213**: 188-194 (2015).

[39] Mazloum-Ardakani M., Beitollahi H., Amini M.K., Mirkhafaf F., Mirjalili B.F., Akbari A., Application of 2-(3,4-Dihydroxyphenyl)-1,3-Dithialone Self-Assembled Monolayer on Gold Electrode as a Nanosensor For Electrocatalytic Determination of Dopamine and Uric Acid, *Analyst*, **136**: 1965-1970 (2011).

[40] Jahani, Sh., Beitollahi, H., Selective Detection of Dopamine in the Presence of Uric Acid Using NiO Nanoparticles Decorated on Graphene Nanosheets Modified Screen-Printed Electrodes, *Electroanalysis*, **28**: 2022-2028 (2016).